## Einführung in die theoretische Kern- und Teilchenphysik Überblick

#### Hendrik van Hees

Goethe University Frankfurt







#### Outline

Aufbau der Materie: Längen- und Energieskalen

Kern-Struktur (nicht-rel. Vielteilchentheorie)

Relativistische Quantenfeldtheorie und Standardmodell

Symmetrien und das Standardmodell

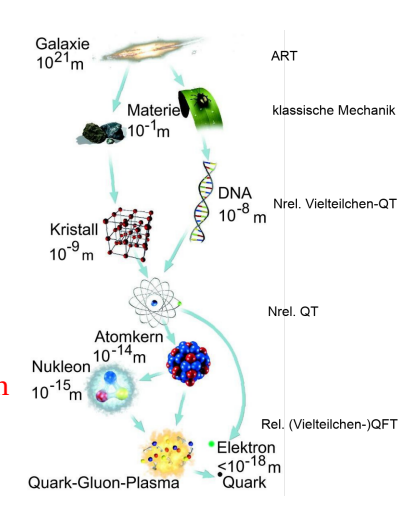
## Aufbau der Materie

## Aufbau der Materie: Längen- und Energieskalen

- ▶ verschiedene Skalen ⇔ verschiedene theoretische Beschreibungsebenen
- ▶ makroskopische Beschreibung: viele  $\mathcal{O}(10^{24})$  Teilchen
  - klassische nichtrelativistische Mechanik: makroskopische Materie, gemittelte Beschreibung makroskopischer Freiheitsgrade, kleine Geschwindigkeiten/Kräfte
  - klassische relativistische (Kontinuums-)Mechanik: Bewegungen makroskopischer Körper; hohe Geschwindigkeiten; alle Wechselwirkungen außer Gravitation: SRT
- mikroskopische Beschreibung: einzelne Teilchen, fundamentale WW
  - ► nichtrelativistische QM/QFT: einzelne/wenige Teilchen; kleine Energien (nicht zu schwere Atome, Moleküle, Kerne; Makrophysik: kondensierte Materie)
  - Relativistische QFT: derzeit fundamentalste Ebene; beschreibt alles außer Gravitation (Quantenoptik, Hochenergieteilchen- und Kernphysik, Kern-Materie, Quark-Gluon-Plasma)
  - bislang QT-Beschreibung der Gravitation noch nicht befriedigend verstanden!

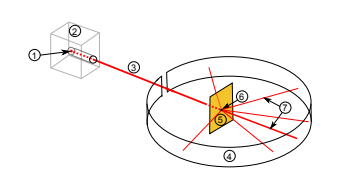
## Aufbau der Materie: Längen- und Energieskalen

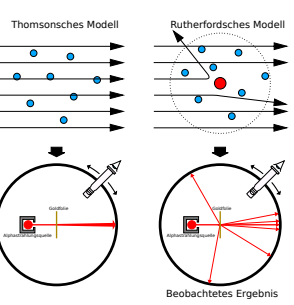
- fundamentale Physik: relativistische QFT (umfassend außer Gravitation!)
- Demokrit (460-370 BC): "nur Atome und leerer Raum"
- ► Atom=griechisch für "das Unteilbare"
- Rutherford (1909-1911): größter Teil des Atoms ist "leerer Raum"
- Hauptanteil der Masse im Atomkern
- heute: Standardmodell der Elementarteilchen
- ▶ Beschreibung bei größeren Skalen: Nrel. QT, Quanten-Statistik ⇒ klassische Physik



## Streuexperimente

- ► Streuexperimente wichtigste Methode, um Aufbau der Materie zu untersuchen!
- ► räumliche Auflösung ← Impulsübertrag bei Stößen
- ► Beispiel: Rutherford-Goldfolienexperiment





Nichtrelativistische QM: Streuung von  $\alpha$ -Teilchen am Coulombpotential des Kerns (Schwerpunktsystem)

$$\frac{\mathrm{d}\sigma}{\mathrm{d}\Omega} = \left(\frac{1}{4\pi\epsilon_0} \frac{Z_1 Z_2 e^2}{4E_0}\right)^2 \frac{1}{\sin^4(\vartheta/2)}$$

## Kern-Struktur

## Atomphysik und Quantenmechanik

- ▶ gebundene Zustände von Z Elektronen mit Kern mit Z Protonen
- elektromagnetische Wechselwirkung sehr gut bekannt (Maxwell-Theorie)
- einfachstes Atom: Wasserstoffatom
- erstes quantenmechanisches Atommodell: Bohr 1913/Sommerfeld 1916
- ▶ "Quantenbedingungen" ad-hoc-Annahmen in klassischer Newtonscher Mechanik ⇔ Elektronenbahnen a la Planeten
- erfolgreich nur für Wasserstoffatom
- ► Entwicklung der "neuen Ouantentheorie"
- ► 1925 Heisenberg, Born, Jordan ⇒ Matrizenmechanik (nichtrelativistische Quantenmechanik; 1. Ideen zur Feldquantisierung)
- ▶ 1926 Pauli: Wasserstoffatom im Rahmen der Matrizenmechanik
- ► 1925/1926 Dirac: "Transformationstheorie"; Operatoren, kanonische Quantisierung
- ▶ 1926 Wellenmechanik; Wasserstoffatom als Eigenwertproblem

Hendrik van Hees

▶ 1926 Born: Wahrscheinlichkeitsinterpretation

## Atomphysik und Relativistätstheorie

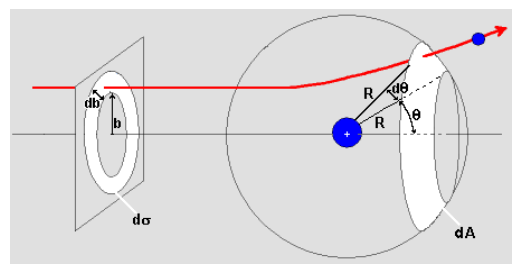
- ► 1928 Dirac: relativistische Wellengleichung für Spin-1/2-Teilchen (Dirac-Gleichung)
  - $\triangleright$  Erklärung für magnetisches Moment des Elektrons: Landé-Faktor  $g_e = 2$
  - ► Vorhersage der Existenz von Antielektronen/Positronen
  - korrekte Beschreibung der Feinstruktur des Wasserstoffspektrums
- ► Relativistische Quantenfeldtheorie
  - ▶ 1925 Jordan: 1. Idee zur Feldquantisierung (in "Dreimänner-Arbeit")
  - ► 1927 Dirac: Quantisierung des elektromagnetischen Feldes (Ouantenelektrodynamik (OED)) "2. Ouantisierung"
  - ▶ 1930er Heisenberg, Pauli, Jordan, Wigner, · · · Quantenfeldtheorie
  - Problem: Streuprozesse (S-Matrix) nur mit Störungstheorie beschreibbar
  - Divergente Korrekturen in höherer Ordnung
  - ▶ 1947-1948 Bethe, Feynman, Schwinger: Renormierungstheorie
  - motiviert durch Entdeckung der "Lamb-Shift" beim Wasserstoff atom (QED-Strahlungskorrekturen)
  - Schwinger 1948: anomales magnetisches Moment des Elektrons
  - ▶ QED vs. Experiment: Übereinstimmung g<sub>e</sub> auf 13 Dezimalstellen!

## Kernphysik

- ▶ gebundene Zustände aus Z Protonen und N Neutronen (Nukleonen); Massenzahl A = Z + N
- ▶ Bezeichnung:  $^{16}$ O Sauerstoffatom (Z = 8, A = 16)
- ► braucht zusätzliche starke Wechselwirkung zwischen Nukleonen (Coulomb-Abstoßung zwischen Protonen!)
- ► Eigenschaften aus Streu-Experimenten
- ► Elektron-Kern-Streuung ⇒ Kernradien, Ladungsverteilungen ("Formfaktoren")
- ► Kernradien (Ladungsradien):  $R = r_0 A^{1/3}$  mit  $r_0 \simeq 1.21$  fm (1 fm =  $10^{-15}$  m = 1 Fermi)
- ► Nukleon-Kern-Streuung ⇔ Wechselwirungspotential
- ▶ Deuteron (einziger gebundener Zweinukleonenzustand  $d = {}^{2}H$ )

## Streuquerschnitt

Wirkungsquerschnitt (Streuquerschnitt)



$$\frac{d\sigma}{d^2\Omega} = \frac{\text{Anzahl von Teilchen pro Zeit und Raumwinkelelement}}{\text{Fluss der einlaufenden Teilchen}}$$

- ▶  $\vec{j}$ : Fluss = Teilchenzahlstromdichte = Zahl von Teilchen pro Fläche pro Zeit  $\Rightarrow [\sigma]$  = Fläche
- ▶ übliche Einheit: "barn"  $1b = 10^{-28} \text{m} = (10 \text{ fm})^2$

#### **Formfaktor**

- Coulomb-Streuung: Streuung eines z.B. Elektrons an punktförmiger Ladung Ze
- ► Rutherford-Streuguerschnitt

$$\frac{\mathrm{d}\sigma_{\mathrm{Punkt}}}{\mathrm{d}^{2}\Omega} = \left(\frac{Ze^{2}}{4E}\right)^{2} \frac{1}{\sin^{4}(\vartheta/2)}$$

- E: kinetische Energie der einlaufenden Elektronen
- Streuung an ausgedehnter Ladungsverteilung  $\rho(\vec{r})$

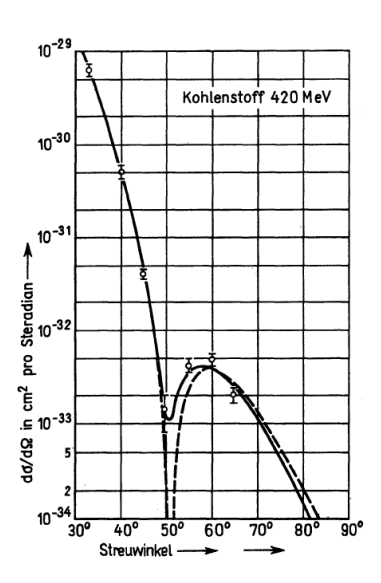
$$\frac{\mathrm{d}\sigma_{\mathrm{Vert}}}{\mathrm{d}^{2}\Omega} = \frac{\mathrm{d}\sigma_{\mathrm{Punkt}}}{\mathrm{d}^{2}\Omega} |F(\vec{q})|^{2}$$

- $\vec{q}$ : Impulsübertrag bei der Streuung  $\vec{q} = \vec{p}_{ein} \vec{p}_{aus}$
- Fermis goldene Regel (1. Ordnung Störungstheorie für Streuprozess): Formfaktor

$$F(\vec{q}) = \frac{1}{e} \int_{\mathbb{R}^2} d^3 r \rho(\vec{r}) \exp\left(\frac{i\vec{q} \cdot \vec{r}}{\hbar}\right)$$

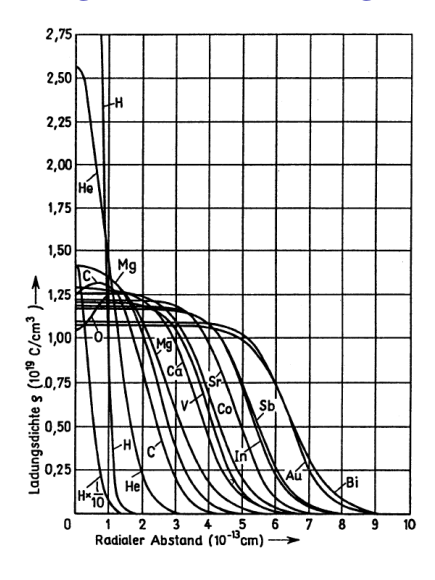
- ▶ NB: kleine Stoßimpulse ⇒ "schlechte Ortsauflösung" ⇒ Kern "punktförmig"
- ► Fraunhofer-Beugung: Beugungsbild = Fouriertransformierte der Blende

### Formfaktor



13

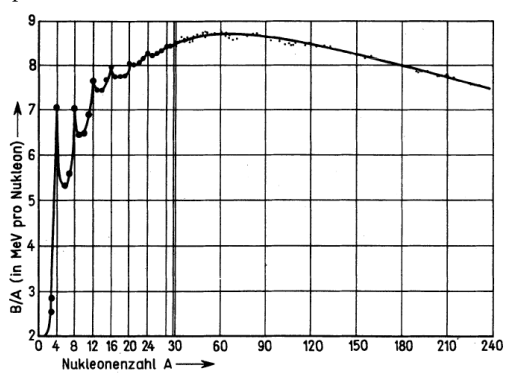
## Ladungsdichteverteilung in Kernen



- inverse Fourier-Transformation des Formfaktors (NB: kenne nicht F sondern nur  $|F|^2$ !)
- praktisch: verwende Modell-Ladungsverteilungen und vergleiche entsprechende Formfaktoren

## Bindungsenergien von Kernen

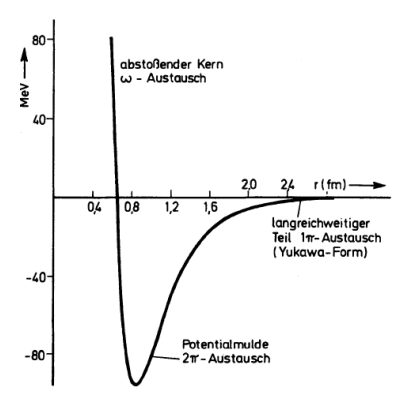
► Kernmasse:  $M = Zm_p + (A-Z)m_n - B/c^2$  ("  $E = mc^2$ ")



- Schalenmodell (Nobelpreis 1963: Maria Goeppert-Mayer, J. Hans D. Jensen)
- » "magische Zahlen"; Spin-Bahn-Kopplung der Kernkräfte

#### Nukleon-Nukleon-Potential

- effektive Potentiale: empirisch bestimmt aus Kernstruktur, NN-Streuung
- effektive hadronische QFT-Modelle:  $\pi$ -,  $\pi\pi$ -,  $\omega$ -Meson-Austausch
- ▶ Hideki Yukawa 1938: Vorhersage Mesonen (Pionen); Nobelpreis 1949
- moderne Variante: chiral perturbation theory (QCD-basiert)



# Relativistische QFT

## Relativistische Quantenfeldtheorie

- ► Relativistische (hochenergetische) Stöße zwischen Teilchen: Erzeugungs- und Vernichtungsprozesse
- OM mit fester Teilchenzahl nicht mehr anwendbar!
- Ausweg: Quantenfeldtheorie mit Hilbertraum zur Beschreibung von Systemen nicht festgelegter Teilchenzahl
- weiteres Argument: relativistische Kausalität unverträglich mit QM ("erste Quantisierung")
- ▶ Beobachtung: Gleichartige Teilchen ununterscheidbar
- zwei grundlegende Sorten: Bosonen und Fermionen
- Hilbertraum unbestimmter Teilchenzahl
- ightharpoonup einzelnes Teilchen durch Impuls-Spin-Zustände  $|\vec{p},\sigma\rangle$  bestimmt
- Details (weitgehend) festgelegt durch Poincaré-Symmetrie des Minkowski-Raums

## Relativistische Quantenfeldtheorie

- ightharpoonup Definiere nun  $|\Omega\rangle$  als "Vakuumzustand" (kein Teilchen vorhanden)
- und Erzeugungs- und Vernichtungsoperatoren (cf. harmonischer Oszillator!)

$$\left|\vec{p}_{1},\sigma_{1};\vec{p}_{2}\sigma_{2};\ldots;\vec{p}_{N},\sigma_{N}\right\rangle = \hat{a}^{\dagger}(\vec{p}_{1},\sigma_{1})\hat{a}^{\dagger}(\vec{p}_{2}\sigma_{2})\cdots\hat{a}^{\dagger}(\vec{p}_{N},\sigma_{N})|\Omega\rangle$$

▶ Bosonen ⇔ wie beim harmonischen Oszi *Kommutatoren* 

$$\left[\hat{a}(\vec{p}_{1},\sigma_{1}),\hat{a}(\vec{p}_{2},\sigma_{2})\right] = 0, \quad \left[\hat{a}(\vec{p}_{1},\sigma_{1}),\hat{a}^{\dagger}(\vec{p}_{2},\sigma_{2})\right] = \delta^{(3)}(\vec{p}_{1}-\vec{p}_{2})\delta_{\sigma_{1}\sigma_{2}}$$

- $|\vec{p}_1, \sigma_1; \vec{p}_2 \sigma_2; ... \vec{p}_N, \sigma_N\rangle$  ändert sich nicht durch Vertauschen zweier Einteilchenzustände im *N*-Teilchenzustand
- ► Fermionen  $\Leftrightarrow$  *Anti-Kommutatoren* ( $\{\hat{A}, \hat{B}\} = \hat{A}\hat{B} + \hat{B}\hat{A}$ ):

$$\left\{\hat{a}(\vec{p}_{1},\sigma_{1}),\hat{a}(\vec{p}_{2},\sigma_{2})\right\}=0,\quad \left\{\hat{a}(\vec{p}_{1},\sigma_{1}),\hat{a}^{\dagger}(\vec{p}_{2},\sigma_{2})\right\}=\delta^{(3)}(\vec{p}_{1}-\vec{p}_{2})\delta_{\sigma_{1}\sigma_{2}}$$

- $|\vec{p}_1, \sigma_1; \vec{p}_2\sigma_2; ...; \vec{p}_N, \sigma_N\rangle$  ändert Vorzeichen durch Vertauschen zweier Einteilchenzustände im N-Teilchenzustand
- ► Fermionen ⇔ Paulisches Auschließungsprinzip
- ► Pauli-Prinzip ⇔ Schalenaufbau der Atome, Periodensystem der Elemente

## Bosonen und Fermionen und rel. QFT



Fermionen		Bosonen	
Leptonen und Quarks	Spin = $\frac{1}{2}$	Spin = 1*	Kraft-Träger Teilchen
Baryonen (qqq)	$Spin = \frac{1}{2}, \\ \frac{3}{2}, \frac{5}{2} \dots$	Spin = 0, 1, 2	Mesonen (qq̄)

- notwendige Folge der relativistischen Raum-Zeit-Symmetrie
- ▶ für ununterscheidbare Teilchen: Bosonen oder Fermionen
- ► Spin-Statistik-Theorem:
  - Fermionen: nur ein Teilchen pro "Zimmer" Teilchen mit halbzahligem Spin
  - Bosonen: bevorzugen Aufenthalt im gleichen "Zimmer" Teilchen mit ganzzahligem Spin

## Antiteilchen und rel. QFT

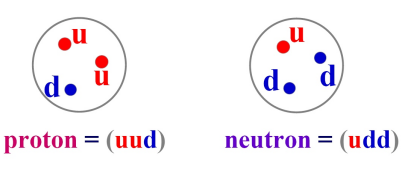
- notwendige Folge der relativistischen Raum-Zeit-Symmetrie
   ←→ relativistische Kausalität (Signal-Ausbreitungsgeschwindigkeit ≤ c)
- ► "Einstein-Lokalität"  $\longleftrightarrow$  Mikrokausalität:  $\left[\mathbf{O}_{1}(x), \mathbf{O}_{1}(y)\right] = 0$  für  $(x y)^{2} < 0$  (Minkowski-Produkt)
- ▶ und damit Energie für alle *N*-Teilchenzustände **positiv** ist
- Vakuum  $|\Omega\rangle$  ist Energieeigenzustand zum Energieeigenwert E=0, Gesamtimpuls  $\vec{P}=0$  und Gesamtdrehimpuls  $\vec{I}=0$
- Notwendigkeit der Antimaterie (Dirac 1928 für Spin-1/2-Teilchen)
- ightharpoonup zu jedem Teilchen gibt es ein Antiteilchen mit exakt gleicher Masse und gleichem Spin aber entgegengesetzten Ladungen (z.B. Elektron mit Ladung -e und Positron mit Ladung +e
- gilt f
  ür alle Teilchensorten, auch Bosonen
- es gibt auch strikt neutrale Teilchen (Teilchen identisch mit Antiteilchen) z.B. neutrales Pion, Photon, vielleicht Neutrinos(?)

## Wechselwirkungen und relativistische QFT

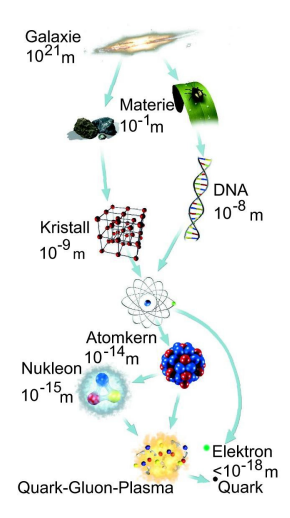
- neben Masse und Spin weitere Quantenzahlen: Ladungen
- beschreiben Kopplungsstärke an Felder, die Wechselwirkungen vermitteln (Lokalität wie in klassischer E-Dynamik!)
- ► Fundamentale Wechselwirkungen
  - elektromagnetische Wechselwirkung: direkt aus "makroskopischer Anschauung" bekannt;
     elektrische und magnetische Kraftwirkung Licht u.a. elektromagnetische Wellen
  - starke Wechselwirkung: hält Atomkerne zusammen (kompliziertere Ladungsstrukur, s.u.)
  - **schwache Wechselwirkung:**  $\beta$ -Zerfall (kompliziertere Ladungsstruktur, s.u.)

#### Elementarteilchen

- Elektronen sind elementar
- Atomkern setzt sich zusammen aus Nukleonen=Protonen und Neutronen
- Nukleonen bestehen aus up- und down-Quarks

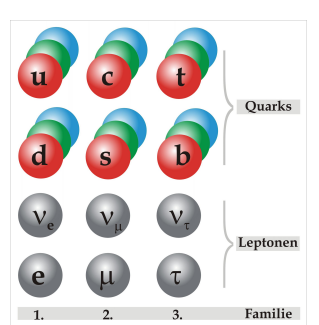


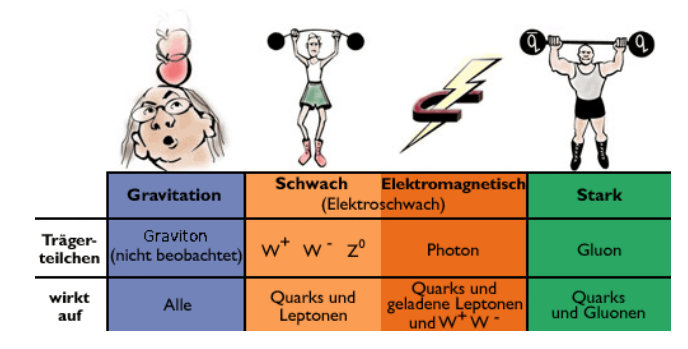
▶ up-Quark: Ladung +2/3, Masse  $m_u = 3 \text{ MeV}/c^2$ down-Quark: Ladung -1/3, Masse  $m_d = 6 \text{ MeV}/c^2$ Elektron: Ladung -1, Masse  $m_e = 0.5 \text{ MeV}/c^2$ 



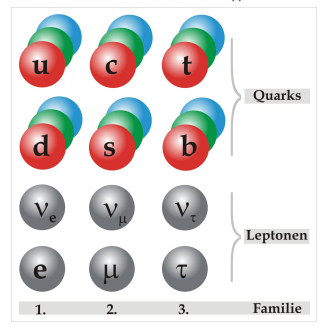
#### Die fundamentalen Kräfte

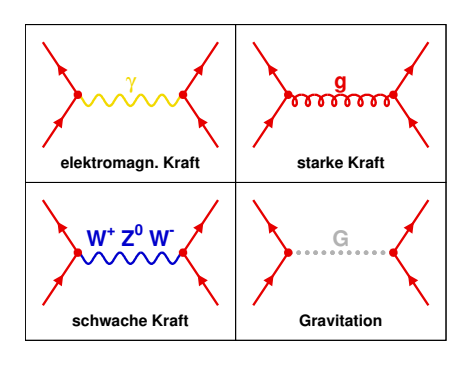
- ► Was hält die Teilchen zusammen (⇒ Materie)?
- ► Fundamentale Kräfte oder Wechelwirkungen
- ► Gesetze werden von Symmetrien bestimmt
- ► e.g., Erhaltung der elektrischen Ladung ⇔ "Kraftvermittlungsteilchen" (Wellenfelder ↔ Teilchen) für elektromagnetische Wechselwirkung Photon





## "Materieteilchen" und "Kraftteilchen"





- ▶ "Materieteilchen" Quarks und Leptonen Spin s = 1/2
- ▶ "Kraftteilchen" Gluonen, Photonen (γ),  $W^{\pm}$ ,  $Z^{0}$  Spin s = 1
- ► Symmetrie der Wechselwirkungen:
  - ► Elementare Masse durch spontane Symmetriebrechung
  - ► Higgsboson  $\Rightarrow$  Masse für Quarks, Leptonen, W, Z-Bosonen

# Symmetrien und Standardmodell

## Symmetrien als Grundprinzip der theoretischen Physik

- ► Emmy Noether 1918: Raum-Zeit-Symmetrien ← Erhaltungssätze
- ► Newtonsche Mechanik:
  - ► Raum euklidisch ⇒ symmetrisch unter Raumtranslationen, Drehungen um beliebigen Punkt
  - Raum-Zeit-Mannigfaltigkeit: Zeittranslationsinvarianz; Spezielles Relativitätsprinzip ⇔ Invarianz unter Galilei-Boosts
  - ► Erhaltungsgrößen: Zeittranslationsinvarianz ← Energieerhaltung; räumliche Translationsinvarianz ← Impulserhaltung; Drehinvarianz ← Drehimpulserhaltung; Galilei-Boost-Invarianz ← Schwerpunktssatz (massen-gewichtete Summe der Ortsvektoren der Konstituenten der Materie bewegt sich geradlinig gleichförmig)

## Symmetrien als Grundprinzip der theoretischen Physik

- ► Emmy Noether 1918: Raum-Zeit-Symmetrien ← Erhaltungssätze
- ► Spezielle Relativitätstheorie
  - Raum euklidisch für inertiale Beobachter⇒ symmetrisch unter Raumtranslationen, Drehungen um beliebigen Punkt
  - Raum-Zeit-Mannigfaltigkeit: Zeittranslationsinvarianz; Spezielles Relativitätsprinzip ⇔ Invarianz unter Lorentz-Boosts
  - ► Erhaltungsgrößen: Zeittranslationsinvarianz ← Energieerhaltung; räumliche Translationsinvarianz ← Impulserhaltung; Drehinvarianz ← Drehimpulserhaltung; Lorentz-Boost-Invarianz ← Schwerpunktssatz (energie-gewichtete Summe der Ortsvektoren der Konstituenten der Materie bewegt sich geradlinig gleichförmig)
- ► Mathematik zeigt: Spezielles Relativitätsprinzip ⇔
  Raumzeit entweder Galilei-Newton- oder Einstein-Minkowski-Raumzeit!

## Symmetrien von Teilchen

- Symmetrie als Ordnungsprinzip für Teilchenzoo
- einfachstes Beispiel: Isospin für Proton und Neutron (Heisenberg 1932)
- ▶ Proton und Neutron haben fast gleiche Masse  $m_N c^2 \simeq 938$  MeV
- Proton und Neutron als ein Teilchen (Nukleon) mit zusätzlicher Quantenzahl (Isospin)
- ► Isospin analog zu Spin, aber *nicht* als Drehimpuls bzw. Drehung im geometrischen Raum
- Drehungen in "Flavor-Raum"
- ► Isospin T = 1/2,  $T_3 = \text{diag}(1/2, -1/2)$
- ▶ Wirken auf 2D komplexen Isospinraum der Quantenzustände: Gruppe SU(2) (2D  $\mathbb{C}^{2\times 2}$ -Matrizen mit det U=1 und  $UU^{\dagger}=1$ )
- ▶ Physik der starken WW (näherungsweise) invariant unter Isospinrotationen
- ▶ Proton und Neutron verhalten sich bzgl. starker WW (fast) gleich

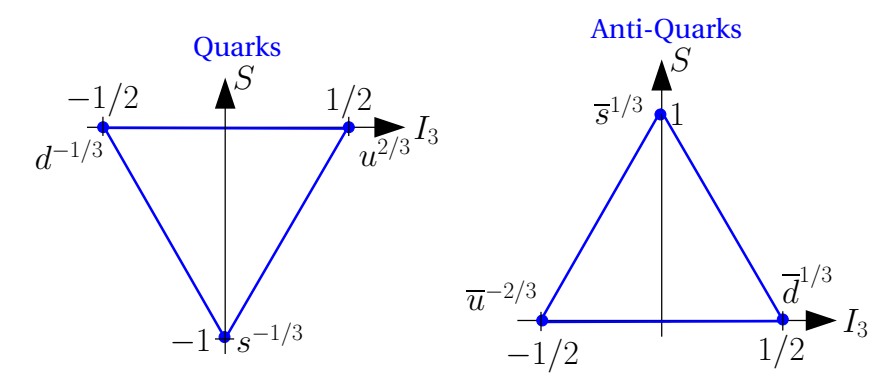
#### Der achtfache Pfad

- ab den 1950-1960ern wurde in Beschleunigerexperimenten ein ganzer Teilchenzoo entdeckt
- die meisten sind Hadronen: Teilchen, auf die starke Kraft wirkt
- ► Gell-Mann, Zweig, Ne'eman (1961): alle Hadronen als gebundene Zustände von Spin-1/2-Teilchen mit Ladungen −1/3 und +2/3
- ► Gell-Mann: Wie sollen sie heißen? Quarks!
- ► Symmetrieprinzipien brachten Ordnung ins Chaos:
- drei Quarks (up, down, strange)
- drei Flavors: SU(3)-Symmetrie; (Zustände nur aus (up,down) Isospin SU(2)-Untergruppe)
- ► Murray Gell-Mann: Nobel Prize in Physics (1969)



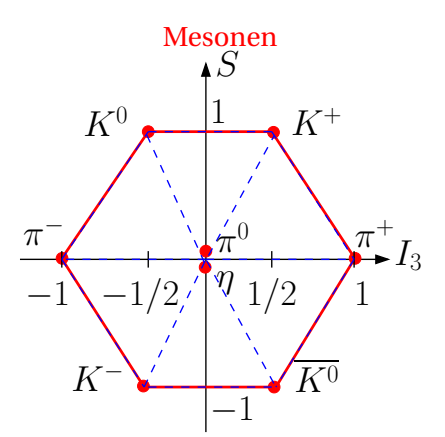
## Flavor-SU(3): Der achtfache Pfad

- Symmetrie liefert zwei Quantenzahlen: Isospin und Strangeness
- ► Isospin und Strangeness erhalten bei starken Wechselwirkungen



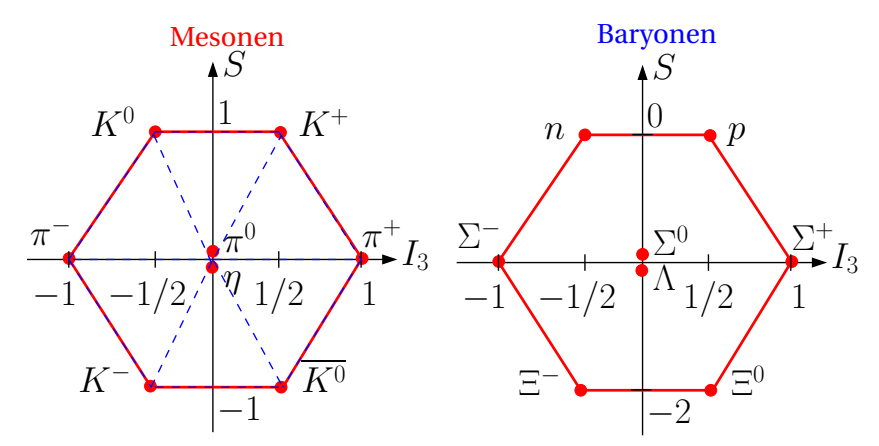
### Flavor-SU(3): Der achtfache Pfad

► Mesonen: "addiere" ein Quark und ein Anti-Quark (Bsp:  $|\pi^-\rangle = |d\bar{u}\rangle$ )



## Flavor-SU(3): Der achtfache Pfad

- ► Mesonen: "addiere" ein Quark und ein Anti-Quark (Bsp:  $|\pi^-\rangle = |d\bar{u}\rangle$ )
- **Baryonen:** "addiere" drei Quarks (Bsp:  $|p\rangle = |uud\rangle$ )



## Farbe für Quarks

- Problem: man erhält nur alle Hadronen, wenn man drei Quarks im gleichen Zustand erlaubt!
- ► ABER: Quarks müssen Spin 1/2 besitzen
- sie müssen daher Fermionen sein (die nicht im gleichen Raum im Fermi-Hotel sein können!)
- ► andererseits funktioniert das Modell: vorhergesagtes Baryon  $|\Omega^-\rangle = |sss\rangle$  wurde gefunden!

## Farbe für Quarks

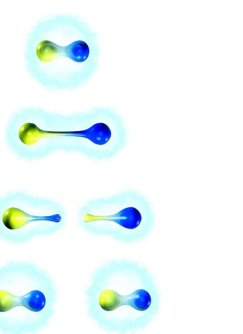
- Problem: man erhält nur alle Hadronen, wenn man drei Quarks im gleichen Zustand erlaubt!
- ► ABER: Quarks müssen Spin 1/2 besitzen
- sie müssen daher Fermionen sein (die nicht im gleichen Raum im Fermi-Hotel sein können!)
- ► andererseits funktioniert das Modell: vorhergesagtes Baryon  $|\Omega^-\rangle = |sss\rangle$  wurde gefunden!
- Lösung: Jede Quarksorte kommt in drei "Farben" vor
- ► Alle Quarks von demselben Flavor sind gleich, können aber verschiedene Farbquantenzahlen besitzen ⇒ Symmetrie!

## Quantenchromodynamik

▶ Noch mehr Probleme: bislang hat noch niemand freie Quarks gefunden!

#### Befreiung der Quarks:

⇒ versuche Meson auseinanderzubrechen



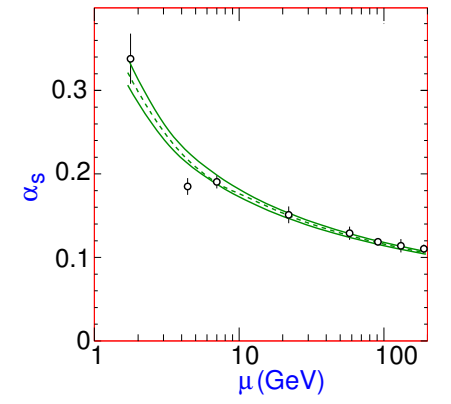
Man kann das Meson nicht auseinderbrechen. Stattdessen produziert man mehr Hadronen!



- Quarks in Hadronen gefangen
- ▶ 1973: Gross und Wilczek, Politzer
- Theorie der starken WW basierend auf Farb-Symmetry!
- Kraft wird stärker für größere Abstände
- Grund: Kraftteilchen tragen selbst Farbe

## Quantenchromodynamik

- Lokale Farb-Eichsymmetrie der Quarks (Farbladung erhalten)
- ► Kraftteilchen ("Eichboson"): Gluonen (Spin 1)
- ► Materieteilchen mit Farbladung: Quarks (spin 1/2)
- ► Eich-Theorie: Quantenchromodynamik (QCD) (griechisch: chromos=Farbe)
- ► Kraft wird schwächer bei kurzen Abständen (hohen Energien/Impulsen)



#### Physik-Nobel-Preis 2004:







Gross, Wilczek, Politzer

#### Elektroschwaches Standardmodell

► Glashow, Salam, Weinberg (Nobelpreis 1979)







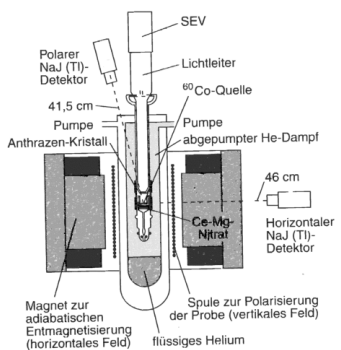
Abdus Salam

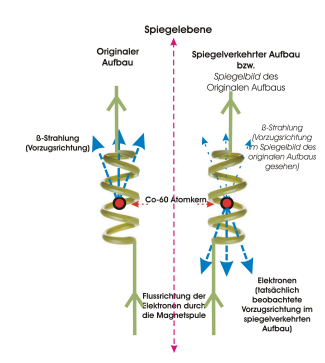


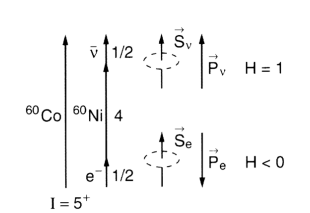
Steven Weinberg

- lokale Eichsymmetrie (Gruppe  $SU(2)_{wiso} \times U(1)_{wV}$
- Flavor-Symmetrie: schwacher Isospin und schwache Hyperladung
- Eichbosonen sollten Masse haben (schwache WW sehr kurzreichweitig)
- Dilemma: Eichsymmetrie verbietet Masse für Eichbosonen!
- schwache Wechselwirkung verletzt Symmetrie unter Spiegelungen

## **Wu-Experiment**







- ► Anti-neutrino: nur "rechthändig"
- ► Helizität/Chiralität =  $\vec{s} \cdot \vec{p}/(|\vec{s}||\vec{p}|) = 1$
- ▶ Drehimpulserhaltung:  $s_z^{(e)} = s_z^{(\overline{\nu})}$
- ► Impulserhaltung:  $\Rightarrow \vec{p}_e = -\vec{p}_{\bar{\nu}}$
- ► ⇒ Elektron linkshändig
- maximale Paritätsverletzung!

## Higgs-Mechanismus

- schw. WW koppelt nur an linkshändige Teilchen/rechtshändige Antiteilchen
- ► Eichsymmetrie chiral ⇒ auch Quarks und Leptonen müßten masselos sein!
- Ausweg: Higgs-Mechanismus
- ► Führe Higgs-Feld ein (Bosonen mit Spin 0, WISO 1/2)
- ▶ WW mit Eichbosonen, Quarks und Leptonen erfüllt Eichsymmetrie
- $\langle \Omega | v | \Omega \rangle \neq 0 \Rightarrow 3 \text{ von 4 Eichbosonen, Quarks und Leptonen werden massiv}$
- Eichsymmetrie immer noch erfüllt; ein masseloses Eichboson übrig: Photon
- ▶ Vorhersage: es muß (mindestens) ein Higgs-Boson geben
- wurde 2012 am LHC gefunden (Physik-Nobel-Preis 2013)

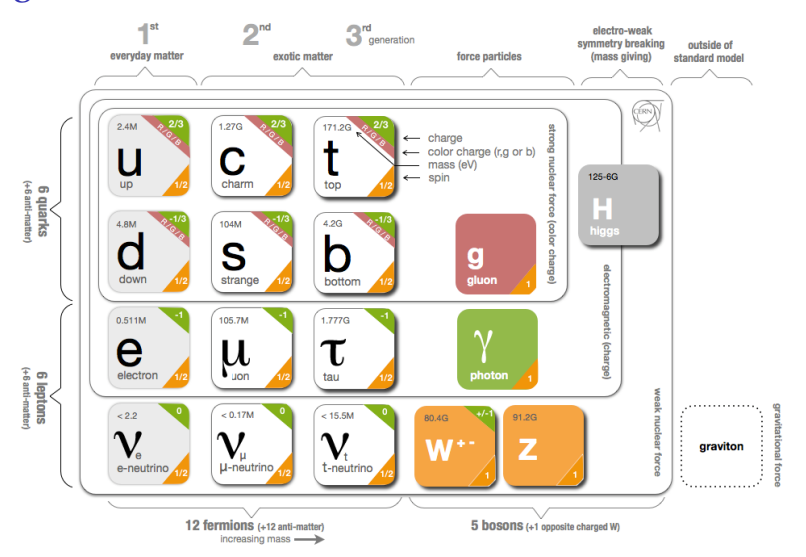


© Nobel Media AB. Photo: A. Mahmoud François Englert



© Nobel Media AB. Photo: Peter W. Higgs

## Das endgültige Standardmodell: Übersicht



[graphics from http://www.isgtw.org/spotlight/go-particle-quest-first-cern-hackfest]

## Bibliography I